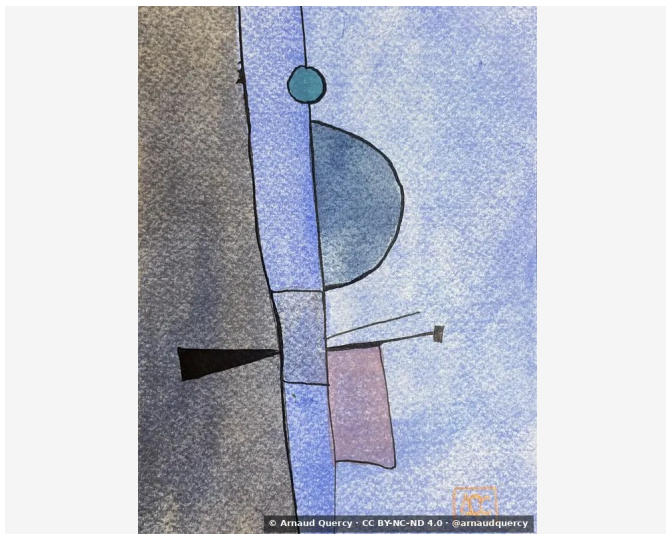


Nanopublication – Analyse Computationnelle d'Image – AQC0806

par Arnaud Quercy · La bémol Octaves - Réflexions 32 · 2025



AFFIRMATION 1: ANALYSE COMPUTATIONNELLE D'IMAGE - AQC0806

L'œuvre La bémol Octaves [1] - Réflexions 32 (AQC0806) [2] par Arnaud Quercy [2] a fait l'objet d'une analyse computationnelle complète [3] le 2026-02-04. Méthode : regroupement k-means avec 10 couleurs extraites. Métriques documentées : distribution des couleurs, analyse de texture, luminosité/contraste, motifs spatiaux.

CONTEXTE

L'analyse effectuée selon MMIDS-CMP-2025 [3] comprend quatre catégories de métriques : (1) Distribution des couleurs via k-means (10 couleurs), (2) Analyse de texture utilisant les caractéristiques de Haralick, (3) Mesures de luminosité et contraste, (4) Caractérisation des motifs spatiaux. Image source [5] : 2419x3225 pixels. Date d'analyse : 2026-02-04.

ANALYSE DES COULEURS

| Rang | Couleur | Hex | % | Famille | Nom |
|------|---------|--------|------|---------------|--------------------|
| 1 | | A8B4D6 | 18.0 | blue-violet | lightsteelblue |
| 2 | | BEC8E2 | 17.5 | blue-violet | lightblue |
| 3 | | 8F9ECC | 11.0 | blue-violet | steel gray |
| 4 | | 6D6B70 | 11.0 | gray | dusty mauve |
| 5 | | D6DFEF | 10.8 | blue-violet | gainsboro |
| 6 | | 8A8585 | 9.5 | gray | gray |
| 7 | | 535259 | 7.6 | gray | dusty mauve |
| 8 | | A89DA1 | 7.5 | red | steel gray |
| 9 | | 6D83AA | 4.6 | blue-violet | grayish purple |
| 10 | | 1C1B1F | 2.5 | gray | very dark gray |
| 11 | | E5B88D | 0.3 | orange | burlywood [Accent] |
| 12 | | 467B93 | 0.3 | blue | steelblue [Accent] |
| 13 | | 556EC5 | 0.3 | violet | slateblue [Accent] |
| 14 | | DOC1AA | 0.3 | yellow-orange | silver [Accent] |

Familles de Couleurs:

| Famille | % |
|---------------|------|
| blue-violet | 61.9 |
| gray | 30.6 |
| red | 7.5 |
| orange | 0.3 |
| blue | 0.3 |
| violet | 0.3 |
| yellow-orange | 0.3 |

Couleurs d'Accent:

| Hex | Famille | Nom | Chroma |
|--------|---------------|-----------|--------|
| E5B88D | orange | burlywood | 29.7 |
| 467B93 | blue | steelblue | 21.1 |
| 556EC5 | violet | slateblue | 50.9 |
| DOC1AA | yellow-orange | silver | 13.0 |

ANALYSE DE TEXTURE

| Métrique | Valeur |
|-------------------------|--------|
| Global Roughness | 0.182 |
| Mean Local Roughness | 0.03 |
| Roughness Uniformity | 0.015 |
| Edge Density | 0.227 |
| Mean Gradient Magnitude | 0.262 |
| Gradient Variance | 0.043 |
| Gradient Smoothness | 0.212 |
| Directional Coherence | 0.005 |
| Pattern Complexity | 0.122 |
| Pattern Repetition | 1.0 |
| Detail Frequency Ratio | 0.611 |
| Spatial Variation | 0.127 |
| Texture Consistency | 0.691 |

ANALYSE DE LUMINOSITÉ ET CONTRASTE

| Métrique | Valeur |
|---------------------------|--------|
| Mean Brightness | 0.624 |
| Brightness Variance | 0.182 |
| Brightness Uniformity | 0.708 |
| Brightness Skewness | -0.668 |
| Brightness Entropy | 7.451 |
| Rms Contrast | 0.182 |
| Michelson Contrast | 1.0 |
| Weber Contrast | 0.554 |
| Mean Local Contrast | 0.033 |
| Contrast Uniformity | 0.539 |
| Dynamic Range | 1.0 |
| Effective Dynamic Range | 0.557 |
| Shadow Percentage | 6.184 |
| Midtone Percentage | 45.546 |
| Highlight Percentage | 48.27 |
| Shadow Clipping | 0.005 |
| Highlight Clipping | 0.003 |
| Tonal Balance | 0.177 |
| Fine Contrast | 0.016 |
| Medium Contrast | 0.04 |
| Coarse Contrast | 0.065 |
| Multiscale Contrast Ratio | 0.255 |
| Edge Contrast | 0.262 |
| Contrast Clustering | 0.309 |

ANALYSE DE DISTRIBUTION SPATIALE

| Métrique | Valeur |
|-----------------------------|--------|
| Spatial Coherence | 0.687 |
| Color Clustering | 0.861 |
| Color Transition Smoothness | 0.34 |
| Transition Uniformity | 0.725 |
| Sharp Transition Ratio | 0.1 |
| Transition Directionality | 0.004 |
| Mean Saturation | 0.169 |
| Saturation Variance | 0.011 |
| Low Saturation Ratio | 0.886 |
| Medium Saturation Ratio | 0.114 |
| High Saturation Ratio | 0.001 |
| Saturation Clustering | 1.0 |
| Hue Concentration | 0.903 |
| Complementary Balance | 0.041 |
| Analogous Dominance | 0.951 |
| Temperature Bias | -0.892 |

Méthodologie

Cette analyse emploie des méthodes computationnelles standardisées pour la caractérisation objective des images. L'extraction des couleurs utilise l'algorithme de regroupement k-means. L'analyse de texture applique l'extraction des caractéristiques de Haralick. Les métriques de luminosité incluent la moyenne, la variance et l'analyse de distribution. Les motifs spatiaux sont caractérisés par des mesures de cohérence et de regroupement. Toutes les méthodes sont déterministes et reproductibles. Analyse effectuée par les systèmes d'imagerie computationnelle de l'Institut Multimodal.

RÉFÉRENCES

- [1] Arnaud Quercy (2025). La bémol Octaves - Réflexions 32 - Catalog raisonné. <https://arnaudquercy.art/en/catalogue-raisonne/AQC0806.html>
- [2] Quercy, A. (2025). Ab Octaves - Reflexions 32 - Gallery. https://artquamanima.com/fr/oeuvres/2025/01/la-bemol-octaves-reflexions-32_8xo.html
- [3] Quercy, A. (2025). Computational Image Analysis Standard - MMIDS-CMP-2025 <https://multimodal.institute/en/publications/2025/11/mmids-cmp-2025-computational-image-analysis-standard-dg1.html>

OÙ VIT CETTE ŒUVRE

ÉLÉMENTS THÉMATIQUES

cartographie chromesthétique octaves Lab

aquarelle synesthétique tons bleu-violet

intervalles musicaux Explorations Synesthétiques

série Reflexions visualisation sonore

PROFIL ÉPISTÉMIQUE

Type de revendication computational analysis

Voix third person

Statut épistémique empirical measurement

Méthodologie computational analysis

Certitude high

SOMME DE CONTRÔLE (SHA-256)

c748e0d87edcd45f1f7676b235078cdd916b573dbc317e1ed2fe8b988a056130

Sous licence Creative Commons Attribution 4.0 International (CC BY 4.0)

Artiste Arnaud Quercy

Date 2025

Certificat 20250125-0002

Asset code AQC0806

Identifiant NAN-COL000148

Version 1

Publié le 2026-02-03

© 2026 Multimodal Institute

Publié par Art Quam Anima Publishing New York,
une marque éditoriale de AQA PUBLISHING LLC
c/o Northwest Registered Agent, 418 Broadway Ste N
Albany, NY 12207, USA
+1 917-764-5470

publishing.artquamanima.com

Dernière mise à jour: 2026-06-03

URI persistante: <https://multimodal.institute/fr/nanopubs/2026/02/AQC0806-computational-image-analysis-aqc0806.pdf>